

I - 7 形状および境界条件が任意の孔を有する平板の解法

九州大学工学部 正員 後藤惠太輔

" 学生員 宮野慎一

1. 序言

有孔板は、箱げたのダイヤフレム、船舶のデッキプレートおよび建物の有孔床版など種々の構造物の構成要素として多用されてい。この種板の破壊は、孔の存在により高い応力集中に起因すると考えられる場合が多く、したがって、その破壊機構を密めるには、孔縁近傍の応力集中や応力分布を正確に知らねばならない。本研究は、かかう観点より、任意形状孔をもつ無限平板が無限遠において一様な曲げモーメントおよび捩りモーメントを受ける場合を対象として(Fig. I参照)、孔形状および孔隅角部の丸味と応力集中、断面力との関係を明らかにせんとするものである。孔の境界条件は自由か固定支持とし、解法にはMuskhelishviliの複素変数法を用いる。

2. 解法

平板の断面力を複素変数法により求めるには、次式により平板のたわみ w を与える2種の解析関数 $\psi_0(z)$, $\psi_1(z)$ を決定すればよい。

$$w = \operatorname{Re} [\bar{\psi}_0(z) + \int \bar{\psi}_1(z) dz] \quad (1)$$

ここで、 $z = x + iy$, (x, y) : 直角座標

孔の外部領域で単位円外に等角写像する関数を次式で表わす。

$$z = w(s) = R \left(s + \sum_{n=1}^{\infty} a_n s^{-n} \right) \quad (2)$$

ここで、 $s = r e^{i\theta}$, (r, θ) : 極座標

しかるとき、式(1)中の解析関数 $\psi_0(z)$, $\psi_1(z)$ はそれぞれ $\psi_0(s)$, $\psi_1(s)$ に変換され、さらに次式で表わされる。

$$\psi(s) = \psi_0(s) + \psi_1(s), \quad \psi(s) = \psi_0(s) + \psi_1(s) \quad (3)$$

ここで、 $\psi_0(s)$, $\psi_1(s)$ は平板に孔が無いときのたわみ関数であり、 $\psi_0(s)$, $\psi_1(s)$ は孔の存在による付加たわみ関数である。

$\psi_0(s)$, $\psi_1(s)$ は、板の曲げ剛性を D として次式で与えられる。

$$\psi_0(s) = -\frac{M_1 + M_2}{4(1+\nu)D} R \left(s + \sum_{n=1}^{\infty} a_n s^{-n} \right), \quad \psi_1(s) = -\frac{M_1 - M_2 - 2iM_3}{2(1-\nu)D} R \left(s + \sum_{n=1}^{\infty} a_n s^{-n} \right) \quad (4)$$

$\psi_0(s)$, $\psi_1(s)$ は、次式のごとく仮定される。

$$\psi_0(s) = \sum_{k=1}^{\infty} b_k s^k, \quad \psi_1(s) = \sum_{k=1}^{\infty} c_k s^k \quad (5)$$

ここで、 b_k , c_k : 未定係数

孔の境界条件は、自由および固定支持に対しそれぞれ次のとくなる。

$$\left. \begin{array}{l} \text{孔縁自由のとき: } -K \psi(a) + \frac{w(a)}{w'(a)} \overline{\psi'(a)} + \overline{\psi(a)} = 0 \\ \text{孔縁固定支持のとき: } \psi(a) + \frac{w(a)}{w'(a)} \overline{\psi'(a)} + \overline{\psi(a)} = 0 \end{array} \right\} \quad (6)$$

ここで、 $a = e^{i\theta}$, $K = \frac{3+\nu}{1-\nu}$ ν : 板材料のポアソン比

式(4), (5)を式(6)に代入し複素積分することにより、付加たわみ関数 $\psi_0(s)$, $\psi_1(s)$ が決定される。

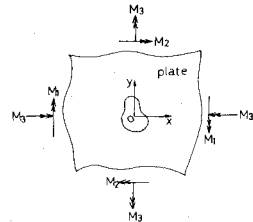


Fig.1 Infinite plate containing hole of arbitrary shape subjected to bending and twisting moments

以上のことわき函数と式(2)の写像函数を用いて、断面力、すなわち曲げモーメント M_p, M_θ 、挿りモーメント $M_{p\theta}$ およびせん断力 Q_p, Q_θ が次式により算定されることとなる。

$$M_p = -D \operatorname{Re} \left[2(1+\nu) \frac{\varphi'(S)}{w(S)} + (1-\nu) \frac{S^2}{P^2 w(S)} \left\{ \bar{w}(S) \left\{ \frac{\varphi'(S)}{w(S)} \right\}' + \psi'(S) \right\} \right]$$

$$M_\theta = -D \operatorname{Re} \left[2(1+\nu) \frac{\varphi'(S)}{w(S)} + (1-\nu) \frac{S^2}{P^2 w(S)} \left\{ \bar{w}(S) \left\{ \frac{\varphi'(S)}{w(S)} \right\}' + \psi'(S) \right\} \right]$$

$$M_{p\theta} = D(1-\nu) \operatorname{Im} \left[\frac{S^2}{P^2 w(S)} \left\{ \bar{w}(S) \left\{ \frac{\varphi'(S)}{w(S)} \right\}' + \psi'(S) \right\} \right]$$

$$Q_p = -4D \operatorname{Re} \left[\frac{S}{P|w(S)|} \left\{ \frac{\varphi'(S)}{w(S)} \right\}' \right]$$

$$Q_\theta = 4D \operatorname{Im} \left[\frac{S}{P|w(S)|} \left\{ \frac{\varphi'(S)}{w(S)} \right\}' \right]$$

3. 計算例

自由境界の隅を含めた正多角形孔について、孔縁を含め板内各部分の諸断面力を計算し、その分布を Fig. 2 に例示する。図に見るごとく孔隅部にかなり大きな断面力が生

じるが、これらは孔を離れるに従い急減し、応力集中は局部的である。

孔縁に生ずるモーメントのうち最大のものは $M_{p\theta}$ で、これを M_p と略記して分布状態を Fig. 3 に示す。図中、 η は孔隅角部の丸味を表わすファクターである。最大 M_p と作用モーメントとの比、すなわち応力集中係数 ($S.C.F.$) を孔隅部の丸味に対する示せば、Fig. 4 のごとくなる。

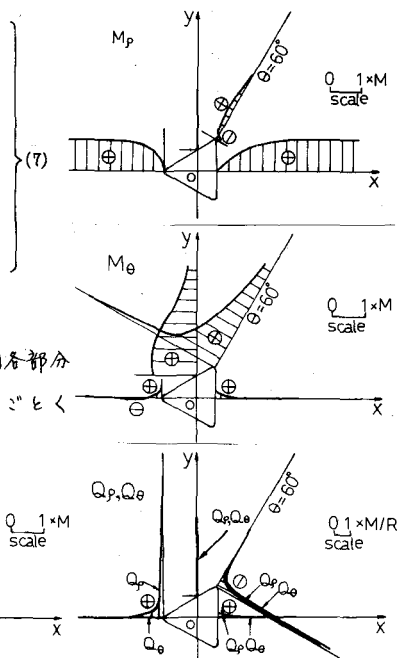
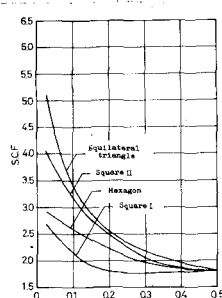
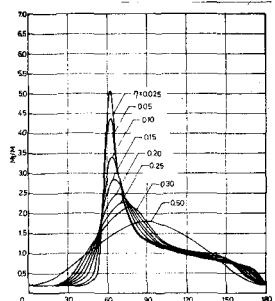
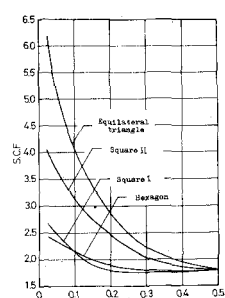


Fig. 2 Moment and shearing force distributions in plate containing free equilateral triangular hole ($\eta = 0.05$), purely cylindrical bending in x-direction ($M_1 = M$, $M_2 = M_3 = 0$)

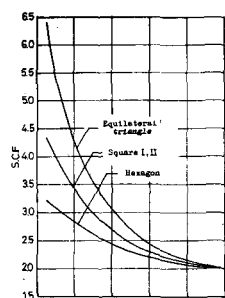
Fig. 3 Moment distribution along free equilateral triangular hole, purely cylindrical bending in x-direction



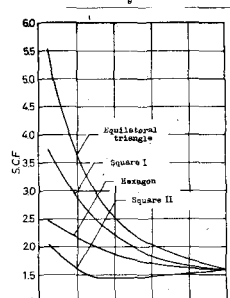
(a) purely cylindrical bending in x-direction ($M_1 = M$, $M_2 = M_3 = 0$)



(b) purely cylindrical bending in y-direction ($M_1 = M$, $M_2 = M_3 = 0$)



(c) pure bending ($M_1 = M_2 = M$, $M_3 = 0$)



(d) pure twisting ($M_1 = M_2 = 0$, $M_3 = H$)

Fig. 4 Stress concentration factor, free holes